

徳山高専 正員 大成博文・佐賀孝徳 山口大学 斎藤 隆

1 はじめに 壁近くの乱流構造の組織性は、壁に向う高速の運動(sweep $u' > 0, v' < 0$)と壁から遠ざかる低速の運動(ejection, bursting $u' < 0, v' > 0$)の二つに概略的に区別される。前者は、outer layer 内の運動に深く関与し、後者はinner layer 内を主とする運動である。最近の研究によればこの両者は深い相互作用過程を有するとされ、相互作用過程自身の組織性の解明の必要性も指摘されている。^{1),2),3)} ところが、個々のそれぞれの現象を含めて今尚未解決の問題が少なくない。本論は、壁近くの流れ場での二つの組織運動の相互作用過程に focus 検討したものである。高速運動の反映結果として形成される「鱗形状」、低速部での「streak対」の挙動が重要である。

2 実験の主旨と方法 組織性の認識には、形態、構造、機構の解明という三段階が存在する。本論は第一段階を主とするものであり、可視化法を用いて粘性底層外端($y^+ = 10$)から buffer 層($10 < y^+ < 30$)にかけての「形態」を追跡する。この領域の運動は、従来から「ランダム性」と「三次元性」に最も富む運動とされ、組織性の抽出が最も困難な領域のひとつであり、有効な手法の確立もなかなかされていない。本論では、それぞれ微妙に機能に異なる三つの可視化法の適用を試み、その比較検討を行う。同時に、可視化された形態の認識に奥体視法を採用し、三次元的な挙動の把握に努める。奥体視法を認識手段として用いる点については、木下の研究に多くの示唆を受けた。⁴⁾ 三つの可視化法とは、AMD法、螢光染料注入法、木素気泡発生法であり、A, F, H 法と略称する。

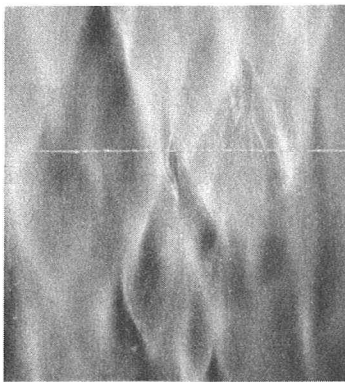
3 比較可視化の結果 三者によるステレオ写真と奥体視説明図を Fig. 1 に示す。三者の機能の比較を Table. 2 に示す。Fig. 1 の可視化写真からわかるように、鱗形状の可視化には A と F 法が比較的優れ、 streak には F と H 法が優れるという相互関係が存在する。(それぞれの方法の詳細は文献5),6)にあり、省略する。)

これまでの結果から、鱗形状は平均的に粘性底層外端附近に形成され、縦横のスケールがそれほど $200 \sim 300$ μm , $100 \mu\text{m}$ であることが明らかになる。^{2),11)} 鱗形状の形態としての重要性は二つあり、ひとつは粘性底層から lifting する streaks の平面的挙動を示す点にあり、もうひとつは鱗形状の側辺部の形成に伴うスケールの縮小が存在していける点である。(後者については文献7)の参照を願う。)(Fig. 2)

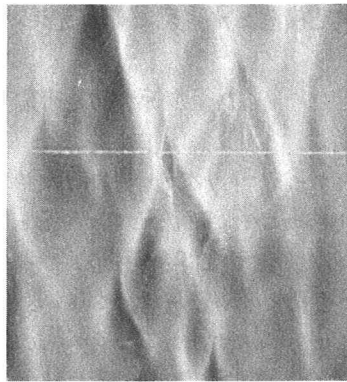
Fig. 1 (a), (b) より鱗形状の立体構造が明確となる。鱗形状は中央部で陥没し、側辺部で隆起する。この陥没と隆起は、高速部および低速部の横方向および流れ方向の相互作用の結果として生ずる。そして、側辺部では粘性底層から lifting した low-speed streaks が隆起の主要な役割を果す。この過程で streak はほとんどの場合対をなしで出現するが、(c) ではそれらがほとんど平行であるか、(d) では比較的明瞭に観察される。また、buffer 層内まで streaks が上昇していくと、挙動自身が不安定性を増し、鱗形状とは別の挙動を示すようになる。これが現象の複雑さのひとつであり、 streaks が鱗形状の上にまで進入していくことを見えていたりもする。

(c) の H 法では、 streaks それぞれの三次元的挙動が明瞭に浮かびあがってくる。横に二本並べたレーザー光線(上流側が $y^+ = 10$ 、下流側が $y^+ = 30$ の高さ)との高さの対比で、粘性底層から lifting して $z \approx 3$ streak 対が一層明瞭である。さらには、 buffer 層と並んで log layer まで急激に層が変してゆく streaks も多数存在している。そして、対をなす streak がじつは壁面に平行に並んでいるのではなく、様々な高さの違い、角度の違いで存在していることにも気がつく。ひととおり三次元的挙動を平面的に観察してから、 streak 対の横幅も $10 \sim 30 \mu\text{m}$ とある幅の値を持つ。縦断面図の一例を Fig. 3 に示す。さて、もうひとつのが buffer 層内の streak の挙動の重要な点は、 streak 自身の集中が行なわれる点である。streak 集中のトレースを Fig. 4 に示すが、この集中にはすぐ隣の高速部の運動が重要な役割を果す。集中点の両隣には、壁面を露出させる高速運動が必ず出現している。

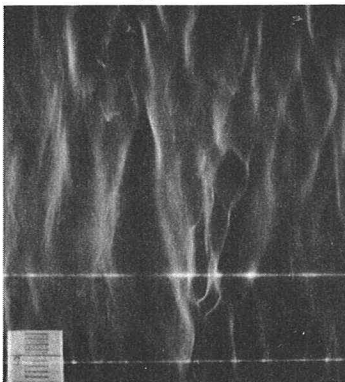
鱗形状と streak 対は三次元的な挙動を示し、それらが流れのどのような機構によって形成されるかはますます重要な点となってきた。現在、横断面可視化を行っており、三次元的な情報をさらに蓄積されるであろう。



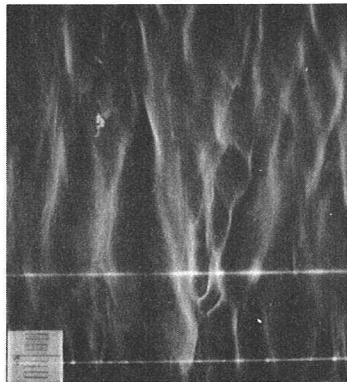
(a)



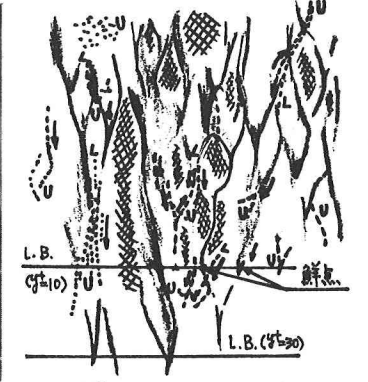
(a)



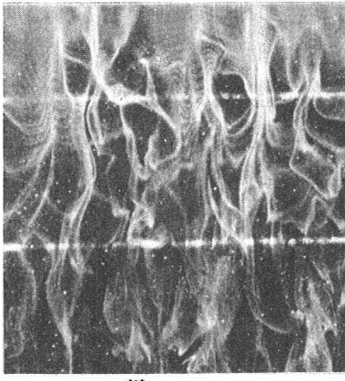
(b)



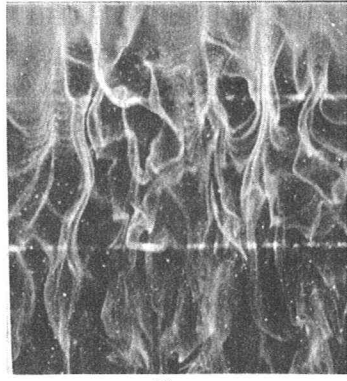
(b)



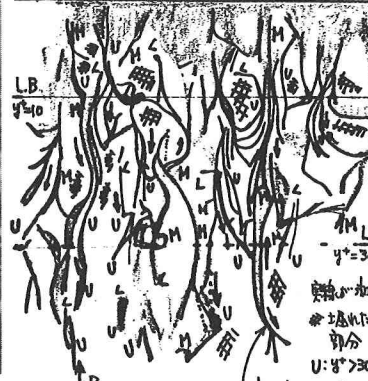
(c)



(c)



(c)



(左) Fig.1 (a) AMD法, (b) 融光染料注入法, (c) 水素気泡法(陰極線高さ $y^+=15$, 二本のレーザー光線間隔 6 cm)

	Re	U(cm/s)	H(cm)	U _l (cm/s)	P
(a)	4400	5.72	9.1	0.44	1.026
(b)	3720	6.87	6.70	0.42	1.07
(c)	4650	7.13	6.57	0.47	

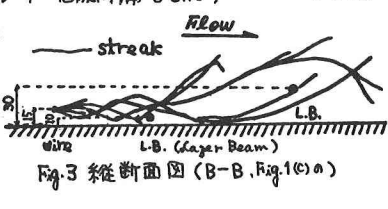
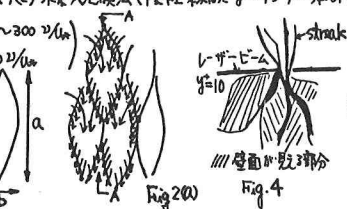
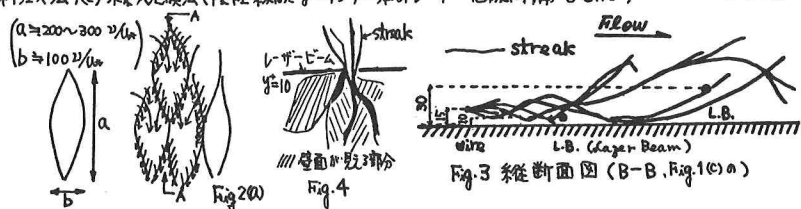
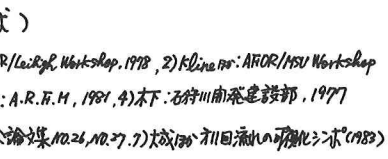
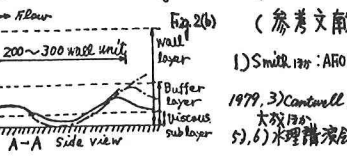
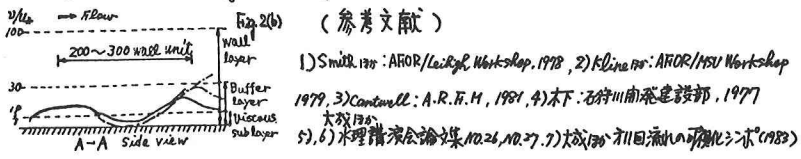


Table 2 可視化機能の比較

	壁形状可視化	streak可视化
A法	O	X
F法	O	△
H法	X	O



(参考文献)

- Smith, 1978: AFOR/Leeds Workshop, 1978, 2) Kline, 1970: AFOR/MSU Workshop 1979, 3) Cantwell: A.R.F.H., 1981, 4) 木下: 石狩川開発建設部, 1977 大成(3A), 5), 6) 水理講演会論文集 10.26, 10.27, 7) 大成(3B), 8) 木下: 河川流れの可視化システム(1982)